



ниях, принятых нами в работе [3], и уточним некоторые формулировки для лучшего понимания дальнейшего изложения:

$$\rho_{\text{эф}}(\tau) = \rho_{\text{эф}}(N_p) \left[ 1 - \exp\left(-\frac{\ln 2 \cdot \tau}{T_{\text{Pm}}}\right) \right],$$

где  $\rho_{\text{эф}}(N_p)$  – значение максимума прометиевого провала для такой мощности  $N_p$ , которой соответствует фактическая концентрация прометия на момент останова реактора.

Подчеркнем основные особенности этих режимов.

Они характеризуются, прежде всего, тем, что весь имеющийся в активной зоне реактора на момент останова прометий со временем распадается, тем самым, увеличивая концентрацию самария и связанную с ним потерю реактивности на отравление.

$T_{\text{Pm}} \approx 2,23$  период полураспада прометия равен сут, то через 11,5 сут. (с погрешностью около 3 % через 5 периодов полураспада) глубина прометиевого провала в соответствии с (1) достигнет максимума. Очевидно, что точно также будет достигнута и достижение равновесной концентрации  $^{149}\text{Pm}$  на новой рабочей мощности реактора  $N_2$ .

Равновесное отравление самарием и максимальная глубина прометиевого провала при останове с номинальной мощности отличаются для разных типов тепловых реакторов. Для УТР равновесное отравле-

ние  $\rho_{\text{эф}} = -0,7\%$  [2], а максимальный провал  $\rho_{\text{эф}} \approx -0,39\%$  по уточненным данным работы [3].

Глубина прометиевого провала пропорциональна фактической концентрации прометия в зоне

$$c_{\text{эф}}(N_p) = c_{\text{эф}}(N_{\text{эф}}) \frac{N_p}{N_{\text{эф}}} \approx -\frac{0,39}{100} \frac{N_p}{N_{\text{эф}}}.$$

Качественный характер зависимости видно из сравнения режимов а) и б) или с) и д).

Если останов произошел с номинальной мощности и при этом уже были достигнуты равновесные концентрации прометия и самария, см. рис. 1, режим а, то отравление самарием приблизительно через 11 сут. примет какое-то предельное для данного реактора значение. Так, например, уточненное предельное значение для УТР будет равно

$$\rho_{\text{эф}}^{\text{lim}} = \rho_{\text{эф},0} + \rho_{\text{эф}}(100\%) \approx -1,09\%.$$

По по  $^{149}\text{Sm}$  абсолютных значений эффектов от  $^{135}\text{Xe}$  почти на порядок меньше отравления

Однако необходимо помнить, что если отравление ксеноном в зависимости от плотности потока тепловых нейтронов носит «насыщающий» характер и по оценкам в максимуме йодной ямы не будет превышать приблизительно  $-10\%$ , то глубина прометиевого провала нарастает пропорционально потоку и может привести к «самариевой смерти» реактора. Это обстоятельство ограничивает диапазон изменения потока тепловых нейтронов в реакторе и требует его постоянного контроля.

2. Номограммный метод расчета отравления теплового реактора самарием в режимах пуска свежего реактора и останова

Номограммные методы расчета в инженерной практике нашли широкое применение. Использование номограммы в расчете отравления самарием было впервые предложено в работе [1] для режима останова. Номограмма выполнена в относительных единицах реактивности, т.е. применима для любого теплового реактора и позволяет определять глубину прометиевого провала при останове с различного уровня мощности или фактической концентрации прометия. Чтобы определить абсолютное значение отравления самарием в прометиевом провале, необходимо умножить результат, снимаемый с номограммы на величину максимальной глубины прометиевого провала конкретного реактора. Для других режимов номограммы отсутствуют, хотя необходимость их очевидна.

Рассмотрим основные принципы составления номограммы [1] на примере УТР.

Накопление прометия при работе реактора на уровне мощности  $N_p$  протекает по следующему закону

$$\frac{N_p}{N_{\text{эф},0}} = \frac{N_p}{N_{\text{эф}}} \cdot \left( 1 - \exp\left(-\frac{\ln 2 \cdot \tau}{T_{\text{Pm}}}\right) \right).$$

Именно эта величина будет определять потенциальную глубину прометиевого провала на момент останова

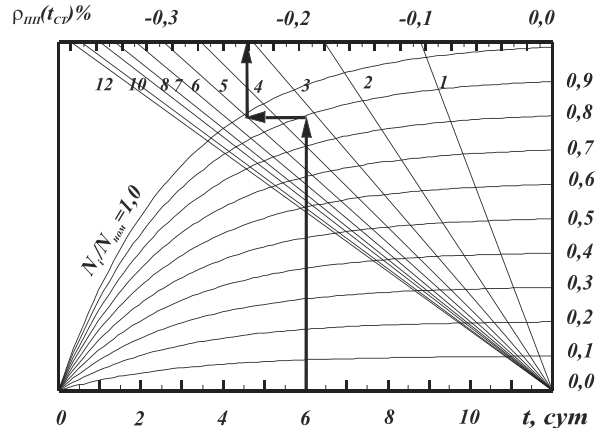


Рис. 2. Номограмма режима пуска свежего УТР

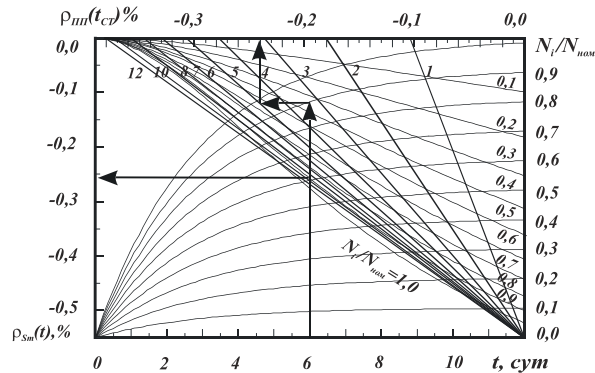


Рис. 3. Принцип работы с номограммой режимов пуска свежего УТР и останова

реактора  $\rho_{\text{пл}}(N_i)$ . На рис. 2 это уравнение представлено в виде семейства кривых для разных уровней мощности с началом в нижнем левом углу.

Изменения реактивности в прометиевом провале в зависимости от времени стоянки  $t_{\text{ст}}$  будет иметь вид

$$\rho_{\text{ст}}(\tau_{\text{в}}) = \rho_{\text{ст}}(N_i) \cdot \exp\left(-\frac{\ln 2 \cdot \tau_{\text{в}}}{T_{\text{пм}}}\right)$$

или с учетом уравнения (2)

$$\rho_{\text{ст}}(\tau_{\text{в}}) = \rho_{\text{ст}}(N_i) \cdot \frac{N_i}{N_{\text{пл}}} \cdot \exp\left(-\frac{\ln 2 \cdot \tau_{\text{в}}}{T_{\text{пм}}}\right).$$

Это уравнение представлено рядом прямых для значений времени стоянки  $t_{\text{ст}}$  от 1 до 12 сут.

Номограмма [1] широко использовалась на практике и в настоящее время применяется для подготовки эксплуатационного персонала водо-водяных энергетических реакторов типа ВВЭР.

В работах [4, 5] на примере УТР ставилась задача создания номограммы расчета отравления самарием в режимах пуска свежего реактора и останова, что значительно расширяет возможности номограммных методов в определении самариевого отравления. Принципиальные схемы этих режимов представлены на рис. 1.

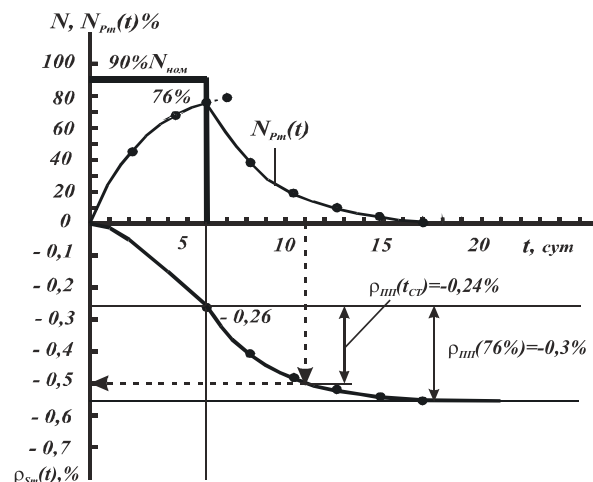


Рис. 4. Решение тестовой задачи графоаналитическим методом

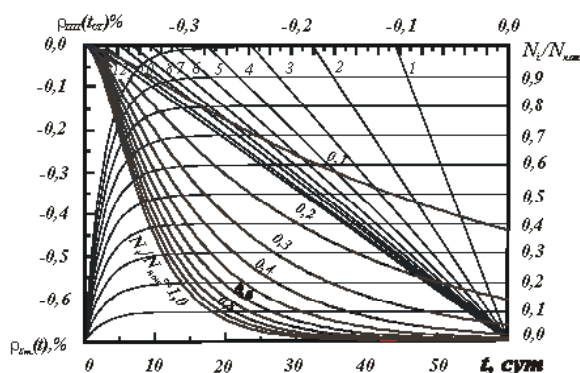


Рис. 5. Номограмма режимов пуска свежего УТР и останова

Отравление самарием в режиме пуска свежего реактора в зависимости от периодов полувыведения  $S_m$  и  $P_m$  описывается следующим уравнением:

$$c_{S_m}(\tau) = c_{S_m,0} \left[ 1 + \frac{T_{\text{пм}}}{S_m - P_m} \exp\left(-\frac{\ln 2 \cdot \tau}{P_m}\right) - \frac{T_{\text{пм}}}{S_m - P_m} \exp\left(-\frac{\ln 2 \cdot \tau}{S_m}\right) \right],$$

где период полувыведения самария в соответствии с работой [2] имеет вид

$$T_{\text{пм}} = \frac{\ln 2}{\Phi_2} \approx \frac{16 \cdot 10^{13}}{\Phi_2} = \Phi_2 \cdot \frac{N_{\text{пл}}}{N_i}$$

Здесь  $\Phi_2$  — средняя плотность потока нейтронов в реакторе, нейтрон/(см<sup>2</sup>·с), соответствующая мощности  $N_i$ , %, на которой работает реактор (в этом режиме исходная мощность  $N_i=0$ ).

На рис. 3 ур. (3) определяется серия кривых с началом в левом верхнем углу графика в зависимости от относительного уровня мощности.

Принцип пользования номограммой показан на рис. 2 и 3 для нижеследующей начальной заданной концентрации по прометию  $\rho_{\text{пл}}(\tau)$  и самарию  $\rho_{\text{см}}(\tau)$  не достигла еще их равновесных значений.

Условный тепловой реактор со свежей загрузкой топлива на мощности  $N_i = 90\%$  от номинальной работал в течение 6 суток, а затем был остановлен. В режиме останова реактор находился еще 5 сут. Требуется оценить потери реактивности на отравление  $^{149}\text{Sm}$  на момент окончания 5 суток стоянки.

На рис. 4 эта задача решена графоаналитическим методом.

По номограмме, изображенной на рис. 4, можно найти только потерю реактивности  $\rho_{\text{ст}}(\tau_{\text{ст}})$  в прометиевом провале на момент времени стоянки.

Новая номограмма (рис. 5) кроме этого, учитывает потерю реактивности  $\rho_{\text{см}}(\tau_{\text{ст}})$  за счет отравления самарием, накопившимся за время работы.

Очевидно, что результат в отличие от графоаналитического метода достигается намного быстрее и определяется только суммированием показаний верхней и боковой шкал:

$$\rho_{\text{ст}}(\tau_{\text{ст}}) + c_{S_m}(\tau_{\text{ст}}) = -0,242 - 0,258 = -0,5\%.$$

#### Заключение

Предложена новая номограмма для определения отравления самарием  $^{149}\text{Sm}$  в режимах пуска свежего реактора и его останова.

Точность номограммы можно улучшить, разбив ее на несколько интервалов по времени. Наиболее практически значимыми и удобными, на наш взгляд, шкалами являются: интервалы времени — 0...12 и 0...60 суток. Первая номограмма со шкалой времени 0...12 суток (рис. 3) обеспечивает наиболее высокую точность в расчетах